

Исследование оптических характеристик структур с сильно напряженными квантовыми ямами $In_x Ga_{1-x} As$

© Д.А. Винокуров[¶], В.А. Капитонов, Д.Н. Николаев, З.Н. Соколова,
А.Л. Станкевич, В.В. Шамахов, И.С. Тарасов

Физико-технический институт им. А.Ф. Иоффе Российской академии наук,
194021 Санкт-Петербург, Россия

(Получена 30 марта 2009 г. Принята к печати 3 апреля 2009 г.)

Представлены результаты фотолюминесцентных исследований гетероструктур с сильно напряженными квантовыми ямами $In_x Ga_{1-x} As$. Показано, что интенсивность фотолюминесценции в зависимости от толщины квантовой ямы имеет максимум, положение которого зависит от состава твердого раствора $In_x Ga_{1-x} As$. Длина волны фотолюминесценции при максимальной интенсивности составила 1.13 мкм при толщине квантовой ямы 60 Å и 1.14 мкм при толщине 50 Å для $x = 0.39$ и $x = 0.42$ соответственно.

PACS: 42.55.Px, 78.55.Cr, 78.67.De

1. Введение

Лазерные гетероструктуры, излучающие в диапазоне длин волн 1.2–1.5 мкм, традиционно изготавливались на подложках InP в системе GaInAsP или в системе AlGaInAs [1,2]. В последнее время интенсивно развивается направление по разработке лазерных гетероструктур, излучающих в данном диапазоне и выращиваемых на подложках GaAs [3–11]. По параметрам слоев такие лазерные гетероструктуры аналогичны типичным лазерным гетероструктурам раздельного ограничения, разработанным для диапазона длин волн 0.98–1.1 мкм [12]. Применение подложки GaAs позволяет увеличить температурную стабильность лазерных характеристик благодаря более сильному ограничению носителей заряда в активной области, а также благодаря росту оптического ограничения из-за большего скачка показателя преломления на гетерогранице волновод–эмиттер, что обеспечивает повышение оптической мощности как в непрерывном, так и в импульсном режиме генерации.

В настоящее время в литературе представлены несколько подходов для решения поставленной задачи достижения генерации на длинах волн излучения 1.1–1.5 мкм в гетероструктурах раздельного ограничения, выращенных на подложках GaAs:

— применение в качестве активной области квантовых точек $In(Ga)As$ [3–5] или квантовой ямы на основе четверного твердого раствора $InGaAsN$ [6,7];

— использование в лазерной структуре компенсирующих слоев GaAsP для подавления процессов образования дислокаций [8,9];

— применение специально подготовленной подложки с буферным слоем из твердого раствора $InGaAs$, что позволяет скомпенсировать напряжения в активной области лазерной структуры и достичь генерации в квантовой яме $In_x Ga_{1-x} As$ вплоть до длины волны 1.6 мкм [10];

— подбор технологических режимов эпитаксии напряженного слоя $In_x Ga_{1-x} As$ активной области, что

позволяет выращивать бездислокационные слои с большими значениями x и толщины твердого раствора и достичь генерации на длине волны 1.2 мкм [11].

В данной работе представлены экспериментальные результаты исследований влияния состава и толщины квантовой ямы на фотолюминесцентные свойства гетероструктур в системе AlGaAs/GaAs/InGaAs, выращенных на подложках GaAs (100) методом МОС-гидридной эпитаксии (газофазной эпитаксии из металлорганических соединений). Цель работы — достижение максимальной длины волны излучения и максимальной величины внешнего квантового выхода в гетероструктуре с двумерной квантово-размерной активной областью $In_x Ga_{1-x} As$.

2. Экспериментальные образцы

Все исследуемые структуры выращивались в идентичных условиях методом МОС-гидридной эпитаксии на установке EMCORE GS 3100 в вертикальном реакторе с резистивным нагревом подложкодержателя. Температура эпитаксии составляла 625°C, давление в реакторе — 77 Торр, скорость вращения подложкодержателя — 1000 об/мин. В качестве источников служили триэтилгаллий ($Ga(C_2H_5)_3$), trimетилалюминий ($Al(CH_3)_3$), trimетилиндий ($In(CH_3)_3$) и арсин (AsH_3).

Для исследований выращивались гетероструктуры с эмиттерными и волноводными слоями, аналогичными слоям лазерных гетероструктур, описанных в [12]. Исследуемые структуры состояли из нелегированных широкозонных слоев $Al_{0.25}Ga_{0.75}As$ толщиной 300 нм, волноводного слоя GaAs толщиной 1000 нм, в середине которого выращивалась сильно напряженная квантовая яма $In_x Ga_{1-x} As$.

Следует отметить, что для увеличения длины волны люминесценции в гетероструктуре с квантовой ямой $In_x Ga_{1-x} As$ необходимо увеличивать содержание индия в твердом растворе. Увеличение доли индия в $In_x Ga_{1-x} As$ ведет к возрастанию несоответствия параметров решеток между подложкой GaAs и слоем твердого раствора $In_x Ga_{1-x} As$, что приводит к росту упругих

[¶] E-mail: dmitry.vinokurov@mail.ioffe.ru

напряжений и уменьшению критической толщины слоя $In_xGa_{1-x}As$. В работе [9] нами было показано, что при толщине слоя активной области больше критической толщины происходит ухудшение фотолюминесцентных характеристик структуры. При толщинах больше критической происходит релаксация упругих напряжений в структуре, степень которой возрастает с увеличением толщины слоя относительно критической, сопровождающаяся образованием дефектов (в частности дислокаций несоответствия).

Состав твердого раствора $In_xGa_{1-x}As$ определялся в тестовых слоях толщиной 1000 нм, выращенных при тех же технологических условиях и соотношениях элементов в газовой фазе, что и активные области в исследуемых фотолюминесцентных структурах. Измерения состава слоя $In_xGa_{1-x}As$ производились методом рентгеноспектрального микроанализа на электронно-зондовом микроанализаторе САМЕВАХ.

Толщина активной области определялась путем расчета из известной скорости роста GaAs, состава твердого раствора $In_xGa_{1-x}As$ и времени осаждения слоя. Скорость роста слоев GaAs в наших экспериментах составляла 200 Å/мин.

Известно, что в процессе МОС-гидридной эпитаксии слоев твердого раствора $In_xGa_{1-x}As$ в волноводных слоях GaAs наблюдается неравномерное распределение In по толщине слоя, обусловленное процессами сегregation индия [13]. Соответственно расчетные значения толщин слоев твердого раствора $In_xGa_{1-x}As$, приведенные в нашей работе, могут несколько отличаться от их реальных значений.

Проконтролировать задаваемую толщину квантовой ямы можно, рассчитывая ее на основании задаваемого состава и полученной длины волны фотолюминесценции. В работах [14,15] приведены различные зависимости ширины запрещенной зоны твердого раствора $In_xGa_{1-x}As$ от состава. Согласно этим зависимостям, с использованием значений разрывов зон между ненапряженными материалами волновода и активной области [16], с учетом напряжений в структуре согласно [17] и эффекта размерного квантования на основе [18] были получены несколько различающиеся значения толщины квантовой ямы. Так, если для твердого раствора $In_xGa_{1-x}As$ с содержанием In $x = 0.39$ по скорости роста мы задаем толщину 60 Å и получаем длину волны фотолюминесценции 1.13 мкм, то расчетные значения толщины по [14] составляют 50 Å, а по [15] — 64 Å. Для твердого раствора с $x = 0.42$ при заданной толщине 60 Å мы получаем расчетные значения 44 и 54 Å соответственно. Согласно проведенным расчетам, наилучшее согласие с экспериментально задаваемой по скорости роста толщиной квантовой ямы достигается при использовании в расчетах ширины запрещенной зоны твердого раствора $In_xGa_{1-x}As$, приведенной в работе [15].

Однако, поскольку соотношение $[Ga]/[In]$ в газовой фазе в исследуемом диапазоне составов твердых растворов $In_xGa_{1-x}As$ практически не зависит от мольного

потока In, мы считаем, что профиль распределения индия в слое квантовой ямы — одинаковый для всех составов, а толщина слоя пропорциональна времени роста во всем диапазоне исследуемых толщин. Это предположение позволяет нам проводить сравнительный анализ для структур с разными составами активной области $In_xGa_{1-x}As$.

3. Результаты исследований

Исследования фотолюминесценции (ФЛ) проводились при оптической накачке Ar^+ -лазером с длиной волны излучения 488 нм и плотностью оптической мощности в диапазоне от 10 до 100 Вт/см². Сигнал регистрировался фотоприемником „Hamamatsu“ со спектральной чувствительностью в диапазоне 0.9–2.1 мкм. Все измерения проводились при температуре 300 К.

На рис. 1 представлены зависимости относительной интенсивности максимума спектра ФЛ от задаваемой толщины слоя квантовой ямы для разных составов твердых растворов $In_xGa_{1-x}As$. Для составов с $x = 0.39$ и $x = 0.42$ в зависимостях наблюдается ярко выраженный максимум, в то время как для состава с $x = 0.28$ интенсивность максимума спектра ФЛ слабо зависит от толщины слоя квантовой ямы. При этом максимальная интенсивность ФЛ для структур с активной областью $In_xGa_{1-x}As$ состава с $x = 0.42$ сдвинута в область меньших толщин относительно максимума интенсивности ФЛ структур с $x = 0.39$ и имеет более резкую зависимость. Это обусловлено, по нашему мнению, большими напряжениями в активной области и началом образования дефектов и дислокаций при меньших толщинах. Нами были проведены расчеты критических толщин для слоев $In_xGa_{1-x}As$ составов с $x = 0.39$ и $x = 0.42$ по модели, представленной в [19]. Расчетные значения составили 56 Å при содержании In $x = 0.42$ и 62 Å при

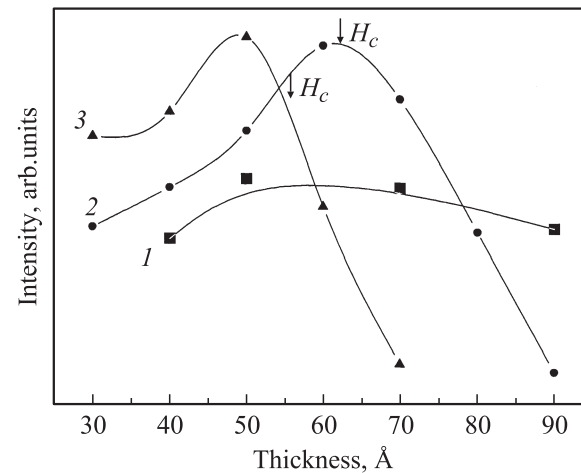


Рис. 1. Зависимости относительной интенсивности максимума спектра фотолюминесценции от задаваемой толщины слоя квантовой ямы $In_xGa_{1-x}As$: 1 — $x = 0.28$, 2 — $x = 0.39$, 3 — $x = 0.42$. H_c — критическая толщина.

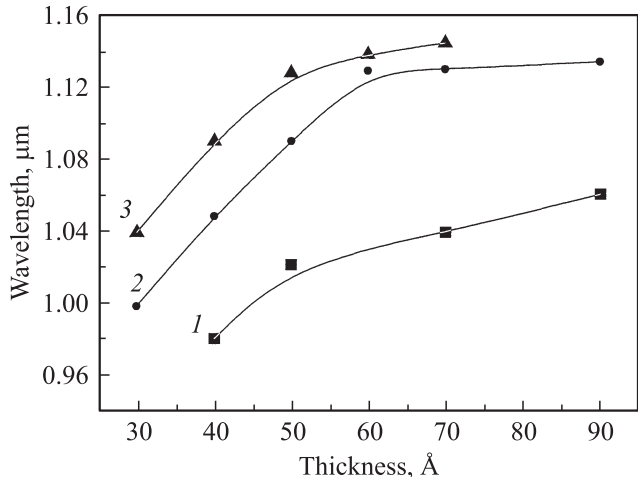


Рис. 2. Зависимости длины волны максимума спектров фотoluminesценции от толщины квантовой ямы $\text{In}_x\text{Ga}_{1-x}\text{As}$: 1 — $x = 0.28$, 2 — $x = 0.39$, 3 — $x = 0.42$.

$x = 0.39$, что совпадает со спадом интенсивности люминесценции экспериментальных структур (на рис. 1 расчетные значения критических толщин H_c отображены стрелками). Необходимо отметить, что при изменении уровня возбуждения Ar^+ -лазером исследуемых образцов от 10 до 100 Вт/см² ход зависимостей интенсивности люминесценции от толщины квантовой ямы сохранялся и длина волны максимума спектра люминесценции от квантовой ямы также не зависела от уровня накачки.

Интерес вызывает снижение интенсивности максимума ФЛ при уменьшении толщины квантовой ямы в исследуемых зависимостях. По нашему мнению, есть две возможные причины наблюдаемого эффекта. Снижение интенсивности спектров ФЛ с уменьшением толщины может быть связано с увеличением времени излучательной рекомбинации [20], а также с возрастанием вклада безызлучательной рекомбинации на гетерограницах квантовой ямы и волновода [21].

На рис. 2 представлены зависимости длины волны максимума спектров ФЛ от толщины квантовой ямы при разных составах $\text{In}_x\text{Ga}_{1-x}\text{As}$. Такой характер зависимостей, по нашему мнению, свидетельствует о двухмерном росте квантовых ям без образования трехмерных островков, подобных квантовым точкам, поскольку, согласно данным [22], длина волны для квантовых точек практически не зависит от номинальной толщины выращиваемого слоя. Максимальная длина волны для структур с содержанием In в активной области $x = 0.39$ и $x = 0.42$ при толщинах, соответствующих максимумам интенсивности ФЛ (рис. 1), была практически одинакова и составляла 1.13–1.14 мкм.

4. Заключение

В данной работе исследованы полупроводниковые гетероструктуры с сильно напряженными квантовыми

ямами $\text{In}_x\text{Ga}_{1-x}\text{As}$. Показано, что зависимость интенсивностей ФЛ таких гетероструктур от толщины активной области имеет максимум, положение которого зависит от состава твердого раствора $\text{In}_x\text{Ga}_{1-x}\text{As}$. Зависимость длины волны люминесценции гетероструктур от номинальной толщины квантовой ямы свидетельствует о двухмерном характере роста активной области. Максимальная длина волны ФЛ, достигнутая в структурах, выращенных при данных условиях, составила 1.13–1.14 мкм.

Авторы благодарят Т.Б. Попову за проведение рентгеноспектрального микронализа слоев $\text{In}_x\text{Ga}_{1-x}\text{As}$.

Работа поддержана грантом РФФИ № 07-02-00714, программами президиума РАН № 27 и отделения ОФН III-7, госконтрактом № 02.513.12.3011.

Список литературы

- [1] А.Ю. Лешко, А.В. Лютецкий, Н.А. Пихтин, С.О. Слипченко, З.Н. Соколова, Н.В. Фетисова, Ю.А. Рябоштан, Е.Н. Голикова, И.С. Тарасов. ФТП, **36** (11), 1393 (2002).
- [2] С.О. Слипченко, А.В. Лютецкий, Н.А. Пихтин, Н.В. Фетисова, А.Ю. Лешко, Ю.А. Рябоштан, Е.Н. Голикова, И.С. Тарасов. Письма ЖТФ, **29** (3), 65 (2003).
- [3] F. Heinrichsdorff, M.-H. Mao, N. Kirstaedter, A. Krost, D. Bimberg, A.O. Kosogov, P. Werner. Appl. Phys. Lett., **71** (1), 22 (1997).
- [4] С.С. Михрин, А.Е. Жуков, А.Р. Ковш, Н.А. Малеев, А.П. Васильев, Е.С. Семенова, В.М. Устинов, М.М. Кулагина, Е.В. Никитина, И.П. Сошников, Ю.М. Шерняков, Д.А. Лившиц, Н.В. Крыжановская, Д.С. Сизов, М.В. Максимов, А.Ф. Цацульников, Н.Н. Леденцов, Д. Бимберг, Ж.И. Алфёров. ФТП, **36** (11), 1400 (2002).
- [5] E.C. Le Ru, P. Howe, T.S. Jones, R. Murray. Phys. Rev. B, **67**, 165 303 (2003).
- [6] D.A. Livshits, A.Y. Egorov, H. Riechert. Electron. Lett., **36** (16), 1381 (2000).
- [7] M. Kondow, T. Kitatani, S. Nakatsuka, M.C. Larson, K. Nakahara, Y. Yazawa, M. Okai, K. Uomi. IEEE J. Select. Topics Quant. Electron., **3** (3), 719 (1997).
- [8] N. Tansu, J.-Y. Yeh, L.J. Mawst. Appl. Phys. Lett., **82** (23), 4038 (2003).
- [9] В.В. Шамахов, Д.А. Винокуров, А.Л. Станкевич, В.А. Капитонов, С.А. Зорина, Д.Н. Николаев, А.В. Мурашова, А.Д. Бондарев, И.С. Тарасов. Письма ЖТФ, **31** (23), 1 (2005).
- [10] Z.H. Zhu, R. Zhou, F.E. Ejeckam, Z. Zhang, J. Zhang, J. Greenberg, Y.H. Lo, H.Q. Hou, B.E. Hammons. Appl. Phys. Lett., **72** (20), 2598 (1998).
- [11] T.K. Sharma, M. Zorn, U. Zeimer, H. Kissel, F. Bugge, M. Weyers. Cryst. Res. Technol., **40** (9), 877 (2005).
- [12] Д.А. Винокуров, С.А. Зорина, В.А. Капитонов, А.В. Мурашова, Д.Н. Николаев, А.Л. Станкевич, М.А. Хомылев, В.В. Шамахов, А.Ю. Лешко, А.В. Лютецкий, Т.А. Налет, Н.А. Пихтин, С.О. Слипченко, З.Н. Соколова, Н.В. Фетисова, И.С. Тарасов. ФТП, **39** (3), 388 (2005).
- [13] A.A. Marmalyuk, O.I. Govorkov, A.V. Petrovsky, D.B. Nikitin, A.A. Padalitsa, P.V. Bulaev, I.V. Budkin, I.D. Zalevsky. J. Cryst. Growth, **237-239**, 264 (2002).
- [14] S. Adachi. J. Appl. Phys., **53** (12), 8775 (1982).

- [15] K.-H. Goetz, D. Bimberg, H. Jurgensen, J. Selders, A.V. Solomonov, G.F. Glinskii, M. Razeghi. *J. Appl. Phys.*, **54** (8), 4543 (1983).
- [16] I. Vurgaftman, J.R. Meyer, L.R. Ram-Mohan. *J. Appl. Phys.*, **89** (11), 5815 (2001).
- [17] М.Р.С.М. Krijn. *Semicond. Sci. Technol.*, **6**, 27 (1991).
- [18] Д.А. Винокуров, С.А. Зорина, В.А. Капитонов, А.Ю. Лешко, А.В. Лютецкий, Т.А. Налет, Д.Н. Николаев, Н.А. Пихтин, Н.А. Рудова, С.О. Слипченко, З.Н. Соколова, А.Л. Станкевич, Н.В. Фетисова, М.А. Хомылев, В.В. Шамахов, К.С. Борщев, И.Н. Арсентьев, А.Д. Бондарев, М.К. Трукан, И.С. Тарасов. *ФТП*, **41** (10), 1247 (2007).
- [19] *Quantum Well Lasers*, ed. by P.S. Zory, jr. (Academic Press, 1993) p. 373.
- [20] В.Б. Халфин, Д.З. Гарбузов, В.В. Красовский. *ФТП*, **20** (10), 1816 (1986).
- [21] Г.Г. Зегря, В.А. Харченко. *ЖЭТФ*, **101** (1), 327 (1992).
- [22] Д.А. Винокуров, В.А. Капитонов, О.В. Коваленков, Д.А. Лившиц, З.Н. Соколова, И.С. Тарасов, Ж.И. Алфёров. *ФТП*, **33** (7), 858 (1999).

Редактор Л.В. Шаронова

Investigation of optical characteristics of high strained $In_x Ga_{1-x} As$ quantum wells

D.A. Vinokurov, V.A. Kapitonov, D.N. Nikolaev,
Z.N. Sokolova, A.L. Stankevich, V.V. Shamakhov,
I.S. Tarasov

Ioffe Physicotechnical Institute,
Russian Academy of Sciences,
194021 St. Petersburg, Russia

Abstract The results of photoluminescent research of heterostructures with strongly strained $In_x Ga_{1-x} As$ quantum wells are presented. It is shown that photoluminescent intensity as a function of quantum well thickness has a peak; its position depends on composition of solid solution $In_x Ga_{1-x} As$. The photoluminescent wavelength at the highest intensity amounts to $1.13\text{ }\mu\text{m}$ for quantum well with 60 \AA thickness and $x = 0.39$ and amounts to $1.14\text{ }\mu\text{m}$ for 50 \AA thickness and $x = 0.42$.